INSTITUTO GEOLOGICO y MINERO DE ESPAÑA

MAPA GEOLOGICO NACIONAL

E: 1:50.000 MAGNA

Hoja 15-29 CASTILBLANCO

20733

Album de Fotografias

COMPAÑIA GENERAL DE SONDEOS, S.A.

Diciembre 1986

COLECCION DE FOTOGRAFIAS

FN 9511.- Barras cuarcíticas (8) de la Serie Ibor-Navalpino.

FN 9512.- Secuencias estratocrecientes en las "barras cuarcíticas" (8). Serie Ibor-Navalpino.

FN 9513.- Laminación cruzada "festoon" en un nivel cuarcítico (8). Serie Ibor-Navalpino.

FN 9514.- Calcoesquistos laminados (7) con el típico aspecto poroso. Serie Ibor-Navalpino.

FN 9515.- Calizas gris oscuro, con superficies alabeadas e intercalaciones de pizarras (7). Serie de Ibor-Navalpino.

FN 9516.- Limolitas con finos niveles arenosos "linsen" (6). Serie de Ibor-Navalpino.

FN 9521.- Capa de arenisca de grano grueso y potencia centimétrica con laminación cruzada planar (3) (B_2 MUTTI). Grupo Domo Extremeño.

FN 9522.- Limolita con laminación paralela y areniscas centimétricas (3) Grupo Domo Extremeño.

FN 9523.- Capas arenosas decimétricas con laminación cruzada planar (B_2 MUTTI) y capa granoclasificada (3). Grupo Domo Extremeño.

FN 9524.- Nivel desorganizado (Facies F) intercalado entre areniscas B_2 (3) Grupo domo Extremeño.

FN 9531.- Serie limolítico-pelítica desorganizada (A) Grupo Domo Extremeño.

FN 9532.- Serie limolítico-pelítica desorganizada con "bolos" arenosos (A). Grupo Domo Extremeño.

FN 9541.- Discordancia erosiva y angular entre el Grupo Domo Extremeño (3,4,5) y la Serie de Ibor-Navalpino (6,7,8). Arroyo Pilones

FN 9542.- Limolitas compactas masivas con intercalaciones de laminación paralela (6). Serie de Ibor-Navalpino.

FN 9543.- Detalle foto anterior; limolitas con laminación paralela constituida por finos "lenticular" y "linsen bedding" arenosas (6):

FN 9544.- Limolitas compactas masivas (6) muy esquistosadas. Serie de Ibor-Navalpino.

FN 9551.- Capas arenosas y limolíticas alternantes (3); secuencias Ta, Tab y Tabc. Grupo Domo Extremeño.

FN 9552.- Capa arenosa métrica (Ta) con superficies de amalgamación (3) Grupo Domo Extremeño.

FN 9553.- Capas arenosas decimétricas Tab con intercalaciones de TBT (3) Grupo Domo Extremeño.

FN 9554.- Marcas de erosión de la corriente, "flute cast" filiformes en el muro de una capa arenosa (3) Grupo Domo Extremeño.

FN 9555.- Capas arenosas y pelíticas alternantes (3); en la litología más fina se desarrolla una esquistosidad grosera espaciada (rough slaty cleavaje). Grupo Domo Extremeño.

FN 9561.- Capa arenosa métrica con estructura de escape de agua (3). Grupo Domo Extremeño.

FN 9562.- Capas de arenisca de grano medio Tab con cantos blandos en la base (intra basinal "rip up" mudstone clasts) (3). Grupo Domo Extremeño.

FN 9563.- Capas arenosas decimétricas con estructura de escape de agua e inyección de pelita (muy esquistosada) y limolitas laminadas a techo (3). Grupo Domo Extremeño.

FN 9564.- Detalle foto anterior, limolitas laminadas (3). Grupo Domo Extremeño.

FN 9565.- Alternancia de areniscas y pelitas (3) con desarrollo de esquistosidad grosera (rough cleavaje) en los niveles arenosos Grupo Domo Extremeño.

FN 9571.- Secuencia de capas arenosas métricas (Tab) y centimétricas (Ta) con pelitas intercaladas (3). Grupo Domo Extremeño.

FN 9572.- Detalle foto anterior, techo de la capa arenosa métrica con intervalo de laminación paralela (6) poco desarrollado.

FN 9581.- Detalle de ortoconglomerados con cantos cuarzo, lidita y arenisca (5). Grupo Domo Extremeño.

JP 9501.- Hummocky en la serie púrpura del Tremadoc. Corte del Puerto del Lobo (10).

JP 9502.- Laminación paralela y ripples de oscilación. Areniscas de Los Rasos. Corte de Benazaire (14).

JP 9503.- Estratificación cruzada Hummocky, laminación paralela, laminación cruzada y ripples de oscilación. Areniscas de Los Rasos (14). Corte de Benazaire.

JP 9504.- Estratificación hummocky y laminación paralela. Areniscas de Los Rasos (14). Benazáire.

JP 9505.- Estratificación hummocky, y laminación cruzada orlando a laminación paralela. Areniscas de Los Rasos (14). Benazaire.

JP 9401.- Banco con la parte inferior masiva por bioturbación (Skolithus). A techo, laminación paralela. Puerto del Lobo (10).

JP 9402.- Banco con la parte inferior masiva bioturbada por Skolithus. A techo, laminación paralela. Serie Púrpura (10). Puerto del Lobo.

JP 9403.- Banco con laminación paralela. Serie Púrpura (10). Puerto del Lobo.

JP 9404.- Laminación paralela. Serie Púrpura (10). Puerto del Lobo.

JP 9405.- Erosiones y compensaciones en las capas. Serie Púrpura (10) Puerto del Lobo.

JP 9406.- Ripples de oscilación asimétricas. Serie Púrpura (10). Puerto del Lobo.

JP 9407.- Ripples de oscilación asimétricos. Serie Púrpura (1o). Puerto del Lobo.

JP 9408.- Estratificación Hummocky en la serie Púrpura (10). Corte del Puerto del Lobo.

JP 9409.- Hummocky con laminación paralela y ripples de oscilación. Serie Púrpura (10).Puerto del Lobo.

JP 9410.- Bancos cuarcíticos en la serie Púrpura (10), con estratificación cruzada. Hummocky, laminación paralela y cruzada, ripples de oscilación y bioturbación. (10). Corte del Puerto del Lobo

JP 9411.- Cuarcita Armoricana (11). Corte de las Nueve Veces

JP 9412.- Idem foto anterior

JP 9413.- Idem foto 9411

JP 9414.- Pliegues en las Alternancias de Pochico (12) carretera Villarta-Helechosa.

JP 9415.- Pliegues en las Alternancias de Pochico (12) Pista de Helechosa a Villarta.

JP 9416.- Ripples de oscilación en dos niveles separados 10 cm. Alternancias de Pochico (12). Pista Helechosa-Villarta.

JP 9417.- Bioturbación y ripples. Alternancias de Pochico (12). Pista de Helechosa-Villarta.

JP 9418.- Alternancias de Pochico (12). Pista Helechosa-Villarta.

JP 9419.- Idem foto anterior

JP 9420.- Hard-ground a techo de las Alternancias de Pochico (12).

JP 9421.- Sinclinorio de la Dehesa de las Navas. Vista general

JP 9422.- Panorámica del sinclinorio de la Dehesa de las Navas.

JP 9423.- Idem foto anterior

JP 9424.- Pizarras con Neseuretus (13). Cabalgamientos internos y esquistosidad. Carretera de Cíjara a Helechosa.

JP 9425.- Plioceno inferior (21). Carretera de Valdecaballeros a Talavera.

JP 9426.- Idem foto anterior

JP 9427.- Raña en Castilblanco (22)

JP 9428.- Idem foto anterior

JP 9429.- Idem foto 9427

JP 1075.- Hummocky en las Areniscas de Los Rasos (14). Arroyo de Benazaire

JP 1076.- Idem foto anterior

JP 1079.- Idem foto 1075

JP 1080.- Idem foto 1075

JP 1083.- Morfologías de los bancos y tipo de estratificación de las cuarcitas de la Fm. Areniscas de Los Rasos (14). Arroyo Benazaire.

JP 1084.- Facies heterolíticas y areniscosas con ripples de oscilación y laminación paralela. Areniscas de Los Rasos (14). Arroyo de Benazaire.

JP 1085.- Facies heterolíticas de areniscas y pizarras con laminación - paralela y ripples de oscilación. Areniscas de Los Rasos (14) Arroyo de Benazaire.

JP 1086.- Bancos areniscosos con morfologías en "jorobas" y "depresiones". Areniscas de Los Rasos (14). Arroyo de Benazaire.

JP 1087.- Relación entre estratificación y esquistosidad en grauvackas precámbricas (3).





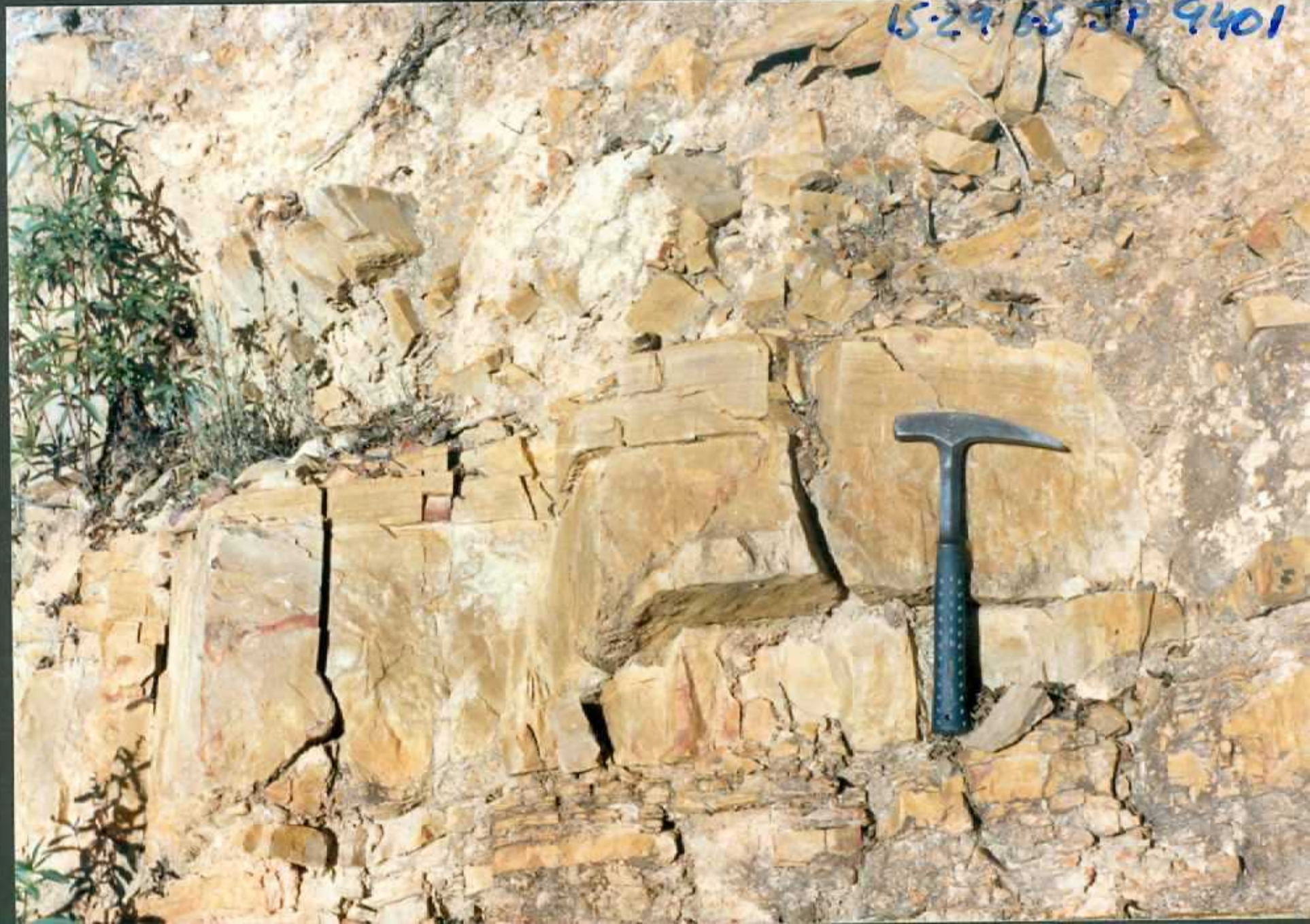











15-29 BS JP 9401


16-2A 03 JP 4402


B-19 65 JF 9403


15-29 CS JT 9404

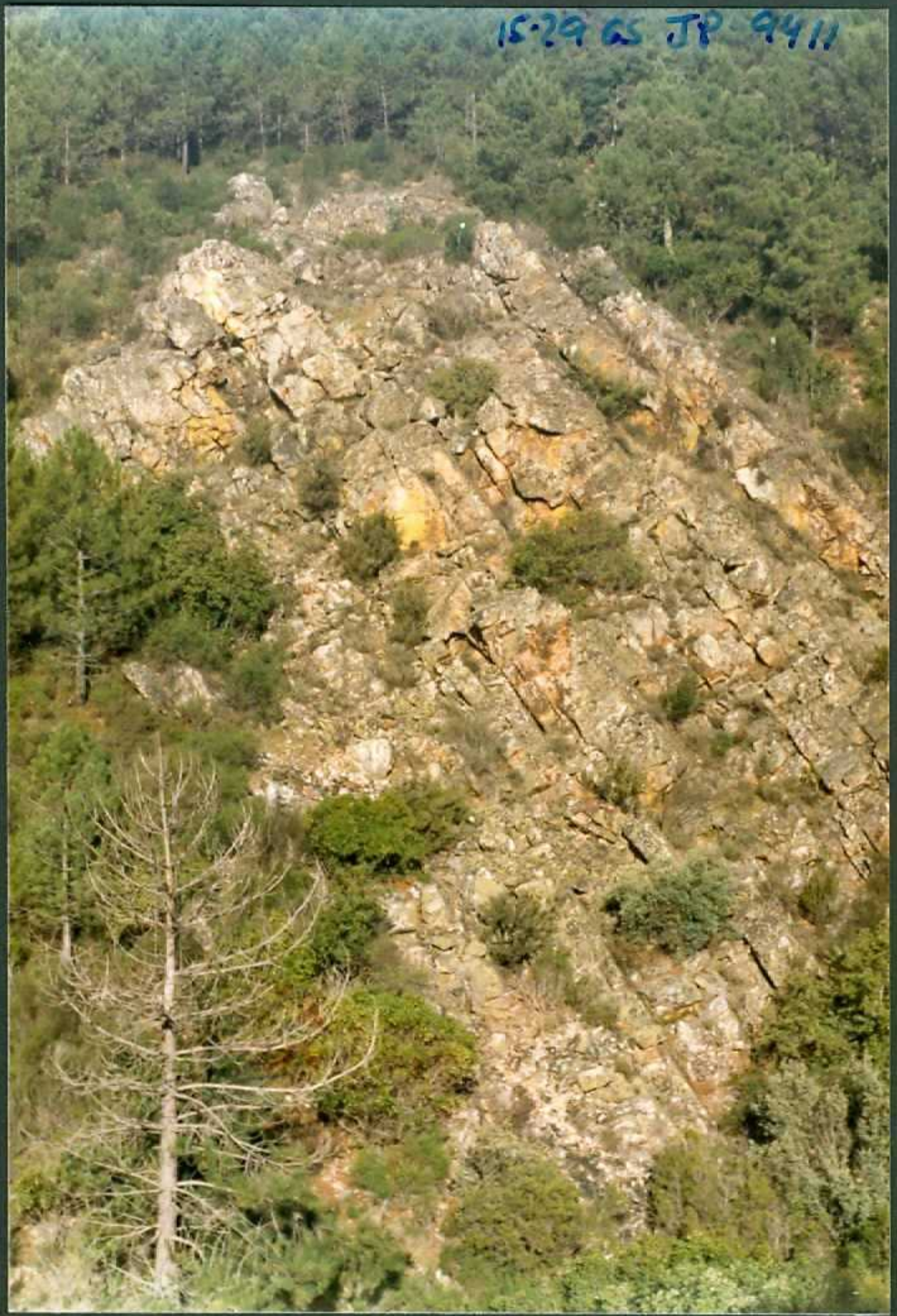

15-29 GS JP 9408

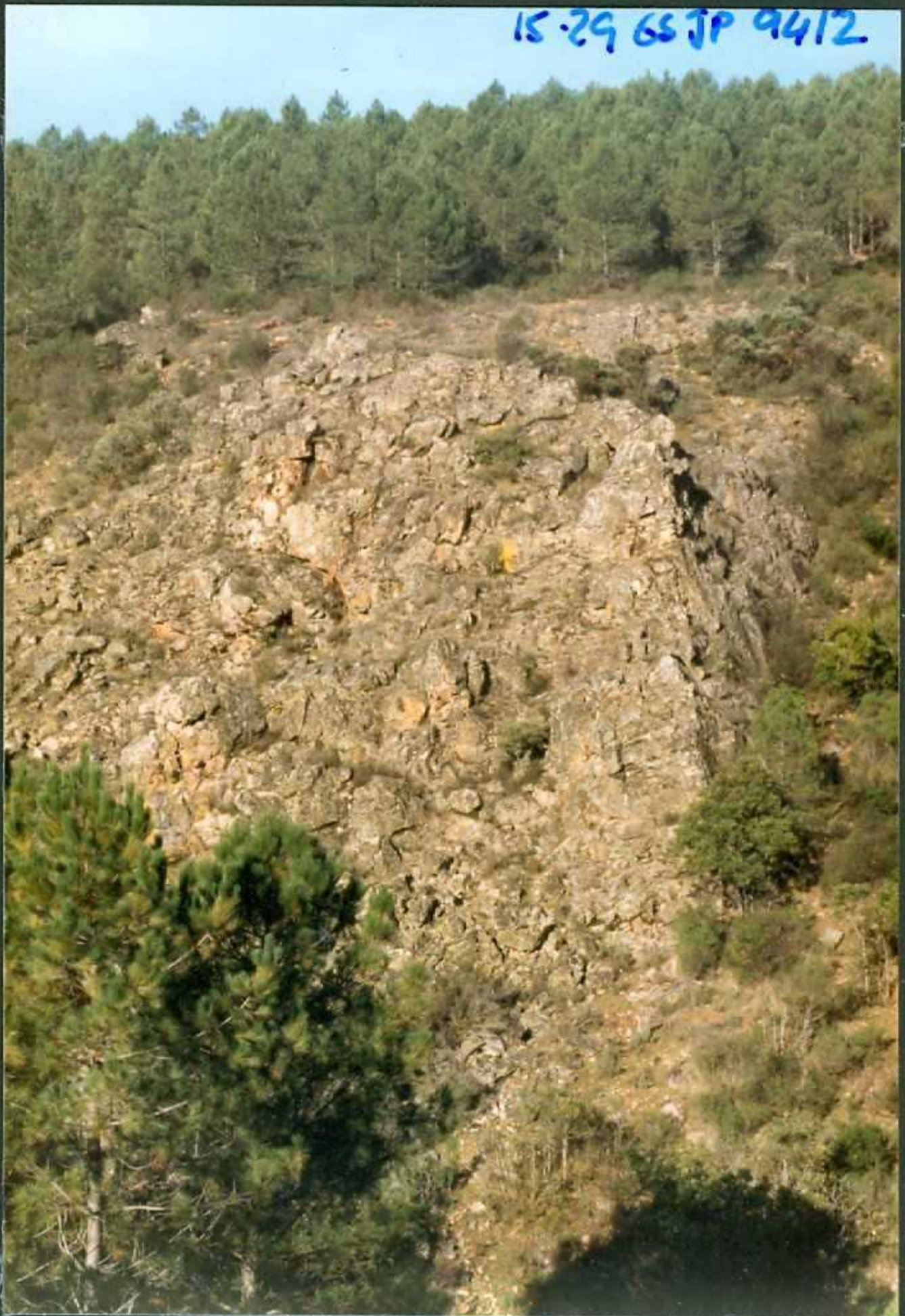

15-29 GS JP 9407

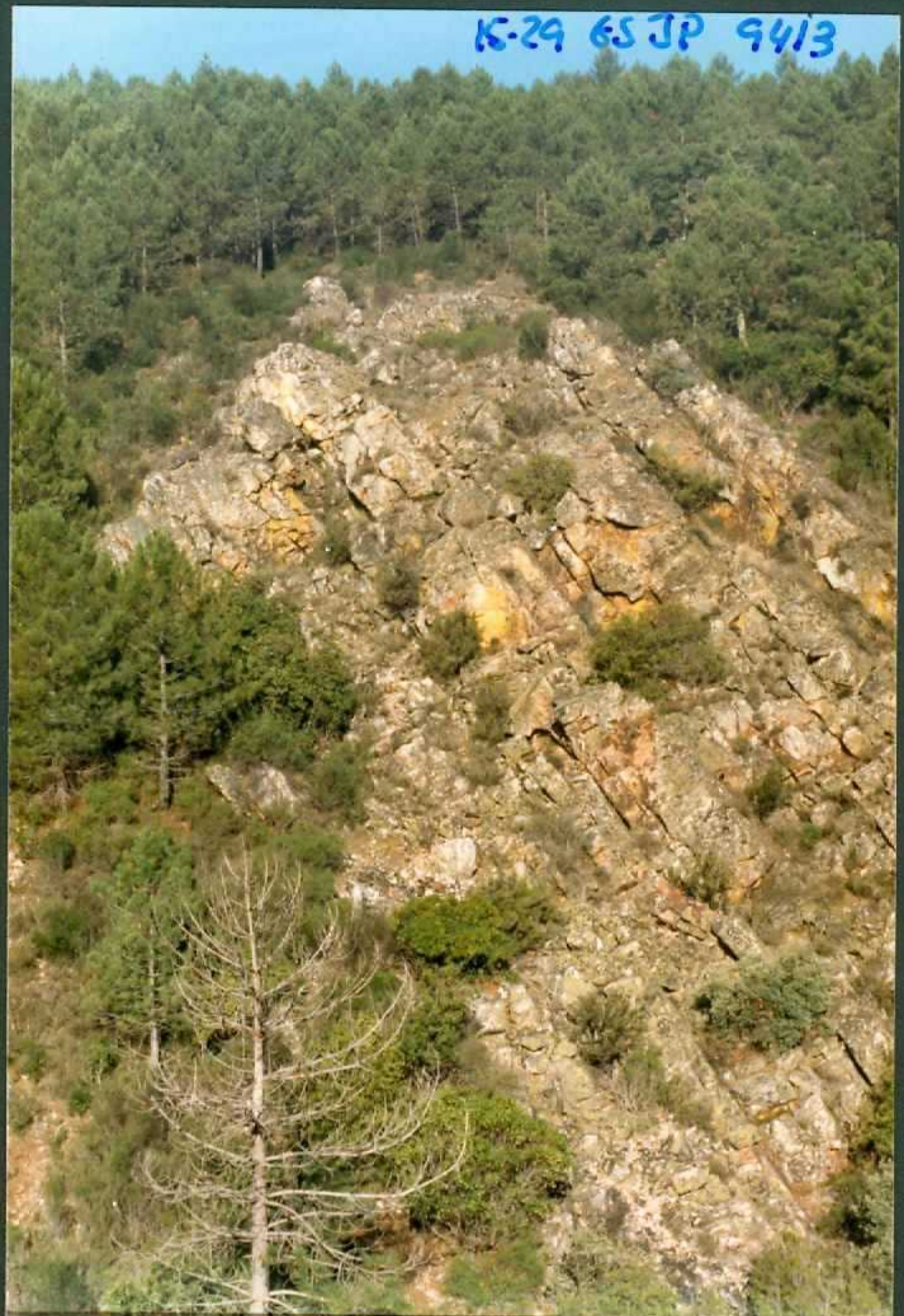


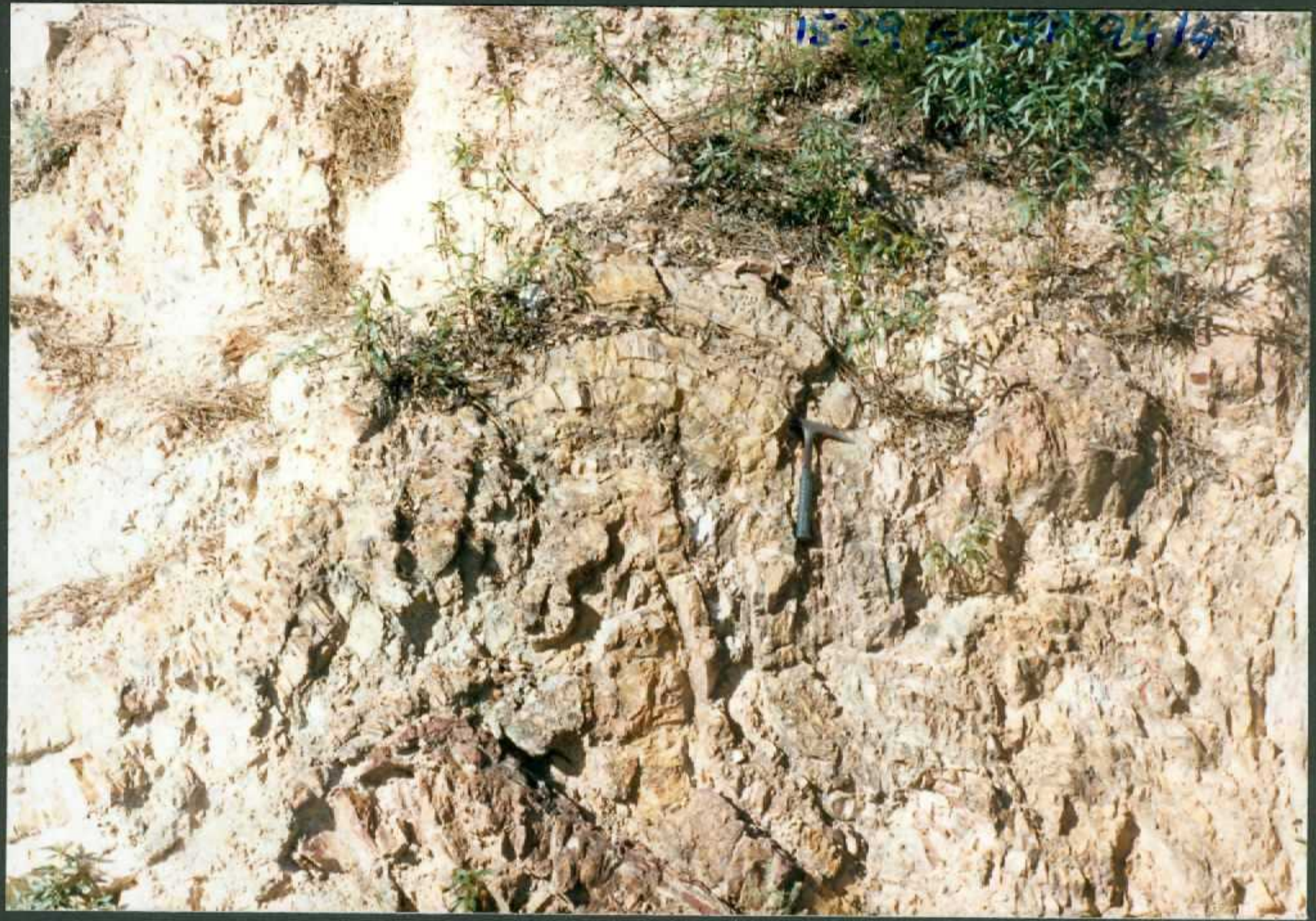

15-29 65 JP 9409




15-29 GS JP 9411


15-29 GS JP 9412


K-29 65 JP 9413






K-29 GS GP 9416


1529 GS TP 9417

15-29 & JP 9418

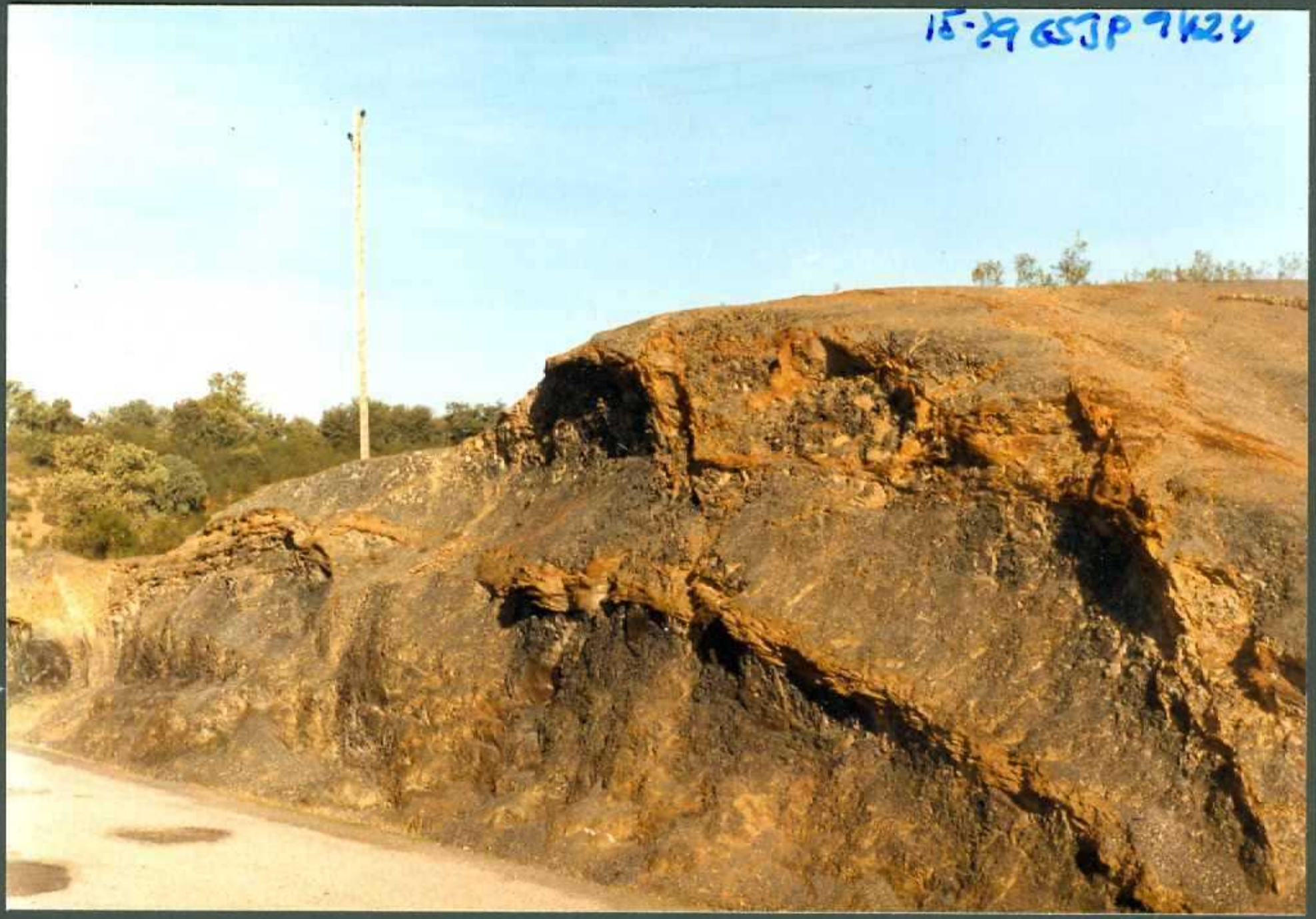

USGS 9419


15-29 GS 51 9420

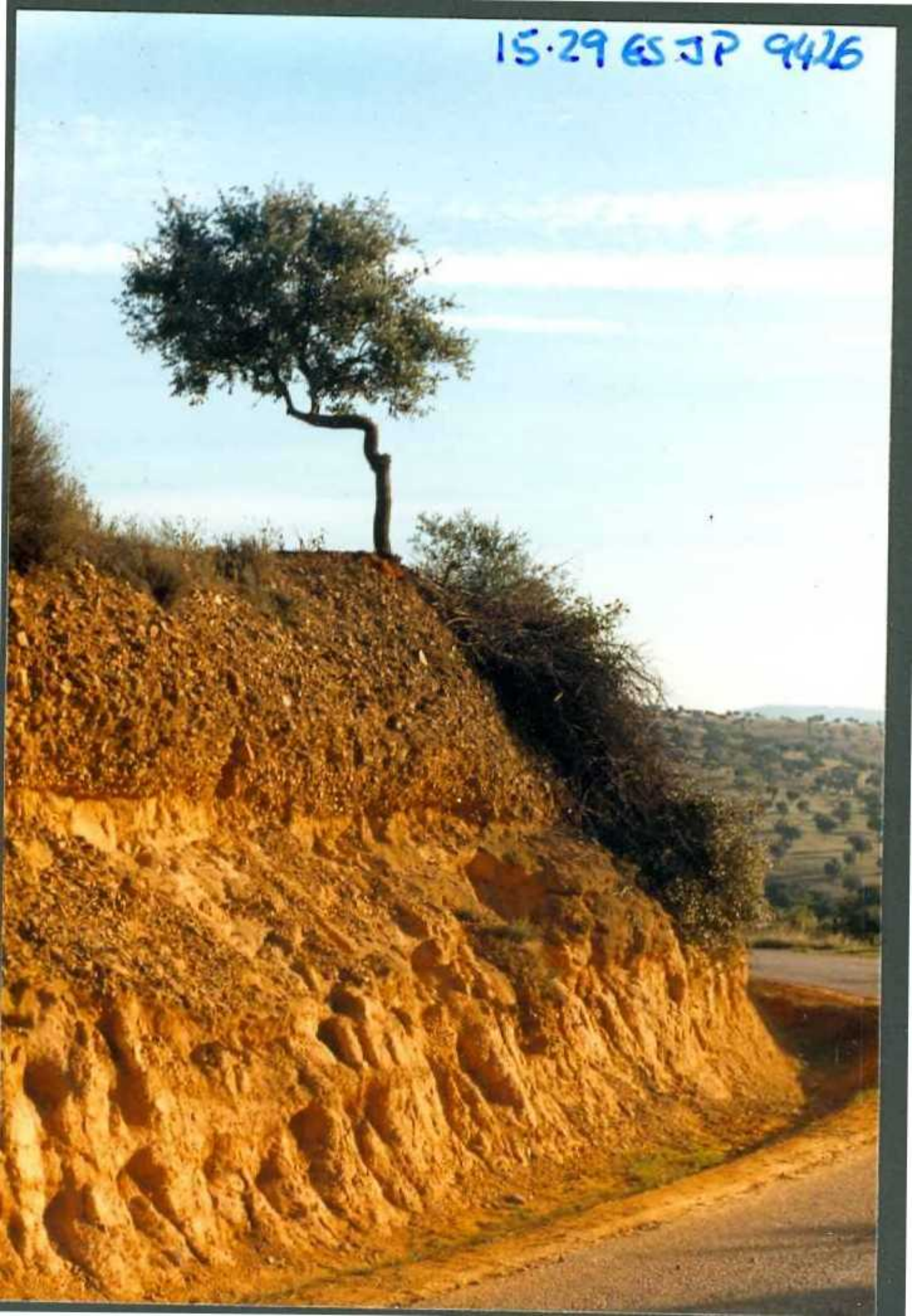

15-29 65 JP 9421


15-29 GS JP 9422


15-29 GS JP 9423


15-29 GSJP 9624




15·29 GS JP 9426


15·29 65 JP 9427


15-29 GS JP 9428


15-29 GS JP 9429




15-29 65 JP 950Z


15·29 65 JP 9503


15.2.76 JP 9504


15-19 GSJP 9505

















